

<總 說>

表面張力이 蒸溜塔 効率에 주는 영향에 關하여

李允容*

1. 緒 言

蒸溜塔의 効率은 混合溶液의 物性, 塔의 運轉條件, 型式 및 構造에 큰 영향을 받는다. 따라서 蒸溜塔의 効率 예측, 設計改良 및 Scale-up을 하기 위해서는 塔 効率에 주는 이들 諸因子의 영향에 關한 광범한 지식이 필요하다. 이와 관련하여 최근 混合溶液의 表面張力과 塔 効率에 關한 研究는 큰 주목을 끌어 왔으며 이에 關한 知識에 많은 진보가 있었다.

2. 二成分系 混合液의 分類

蒸溜塔에서 塔頂에서 塔底部로 흐르는 還流의 表面張力은 그의 組成과 溫度가 變함에 따라 變하게 된다. Zuiderweg 와 Harmens⁽¹⁾는 이 還流의 表面張力이 變하는 方向에 따라 二成分系 混合液을 세 가지로 分類하였다.

a. 表面張力 正系(Surface Tension Positive System)

低沸點成分의 表面張力이 高沸點의 表面張力보다 적어서 還流의 表面張力이 塔底部로 내려갈수록 增加하는 系.

b. 表面張力 負系(Surface Tension Negative System).

低沸點成分의 表面張力이 高沸點의 表面張力보다 커서 還流의 表面張力이 塔底部로 내려갈수록 減少하는 系.

c. 表面張力 中性系(Surface Tension Neutral System)

또는 點成分과 高沸點成分의 表面張力이 거의 같거나 低沸點成分의 表面張力이 高沸點의 表面張力보다 커서 還流의 表面張力이 塔底部로 내려갈수록 表面張力 變化가 거의 없는 系.

그림 1에 몇 가지 二成分系 混合液의 表面張力와 組成 사이의 關係를 표시하였다.

3. 表面張力과 氣液接觸面積

蒸溜塔의 効率은 氣液接觸面積의 大小에 크게 左右

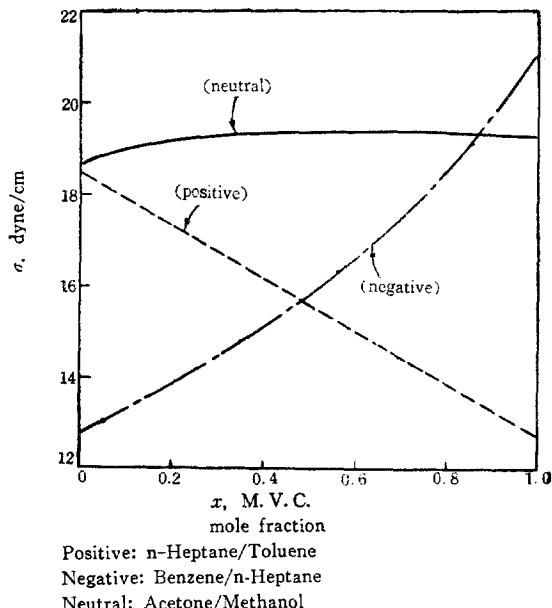


Fig. 1. Variation of Surface Tension at Boiling Points with Mole Fraction of the M. V. C.

되어, 接觸面積이 크면 높아지고 反對로 接觸面積이 작으면 떨어진다. Tray 塔에서는 이 氣液接觸은 Tray 위의 液體와 이를 通過하는 上昇氣泡 사이에서 이루어져, 氣泡가 上昇 도중 깨지거나 다른 氣泡와 會合하면 接觸面積이 작아져서 塔의 効率이 낮아진다는 것을 예상할 수 있다.

Zuiderweg 와 Harmens⁽¹⁾는 여러 가지 二成分系 混合液을 小形 實驗用 多孔板塔(Oldershaw Column)에서 蒸溜한 結果 그림 2에 표시한 것과 같이, 塔의 効率은 表面張力 正系의 경우가 表面張力 負系의 경우보다 훨씬 높으며 Tray 위의 氣液接觸은 그림 3에서 볼 수 있는 것과 같이 表面張力 正系에 있어서는 氣泡가 깨지거나 會合하지 않는 매우 安定한 泡沫狀으로 되고, 表

*韓國科學技術研究所

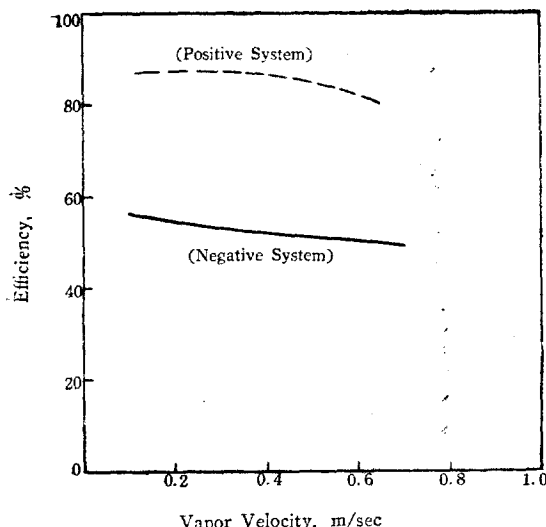


Fig. 2. Separating Power of Oldershaw Sieve Plates (Ref. 1)

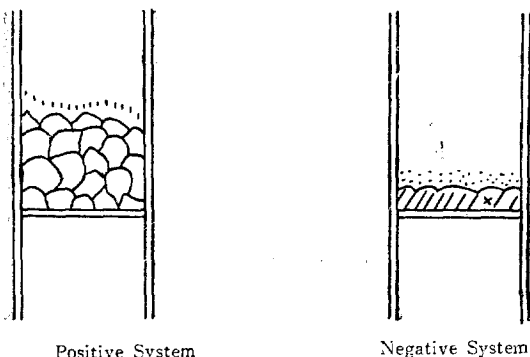
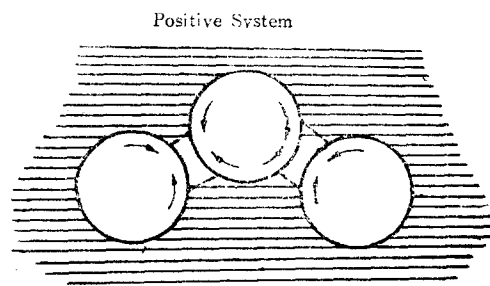


Fig. 3. Interfacial Structure on Oldershaw Sieve Plates

表面張力負系에서는 氣泡가 깨지거나 서로會合하는不安定한 모습으로 되어 있음을 관찰하였다. 이와 비슷한結果는 그 후에 많은 연구자들에 의해서도 報告되었다.^(2,3,4)

以上과 같은二成分系混合液의 表面張力持性과 氣液接觸面積과 이에 따른 塔의 効率 사이의關係를 Zuideweg과 Harmens⁽¹⁾는 다음과 같이 說明하고 있다. 表面張力이 큰液體가 表面張力이 작은液體와接觸을 하면 急激한收縮現象이 일어나는 Marangoni Effect⁽⁵⁾는 잘 알려져 있다. 이런現象은 氣液接觸面에서도 物質傳達에 依해서 일어나는 表面張力勾配(Surface tension Gradient)로 말미아마 일어날 수 있다. Tray 위에서 두 개의 氣泡가 接觸하게 되는 경우를 생각해 보면 物質傳達은 다른部分의液體에 比하여 두 氣泡가接觸하고 있는 韓은液膜에서 우선적으로 일어나서 比較的 빨리 氣相과의 平衡狀態에 接近하게 되어液膜의

低沸點成分濃度가 減少한다. 表面張力正系의 경우에는 이液膜의 表面張力은液本體(Bulk liquid)의 表面張力보다 커지게 되며, 이로 因한液膜의收縮은本體(Bulk)의液을 끌어들여 얇은液膜을補強한다. 이結果氣泡는 깨지거나會合하지 않게 되어 Tray 위에는 安定한泡沫이形成된다. 與之相反表面張力負系의 경우



Shaded areas denote liquid of lower surface tension.

Fig. 4. Schematic Illustration of the Stabilization of Vapor Bubbles in a "Positive" System (Ref. 1)

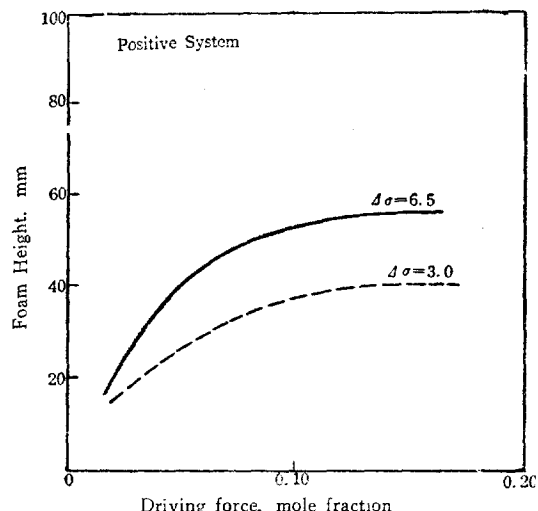


Fig. 5. Influence of Driving Force on Foam Height on Oldershaw Sieve Plates with Increasing Surface Tensions of Reflux (Ref. 1)

에는氣泡사이의液膜의表面張力은液本體보다 작어지게된다.膜의液體는液本體쪽으로끌려가서膜의두께는점점얇아지게되며,이結果氣泡는쉽게깨지거나서로會合한다(Fig. 4 참조).따라서表面張力負系에서는表面張力正系에比하여氣液接觸面積이적어지며塔의efficiency도낮아진다.

混合液成分間의表面張力差와物質傳達速度의大小는氣液表面에서의表面張力勾配의大小를決定할것

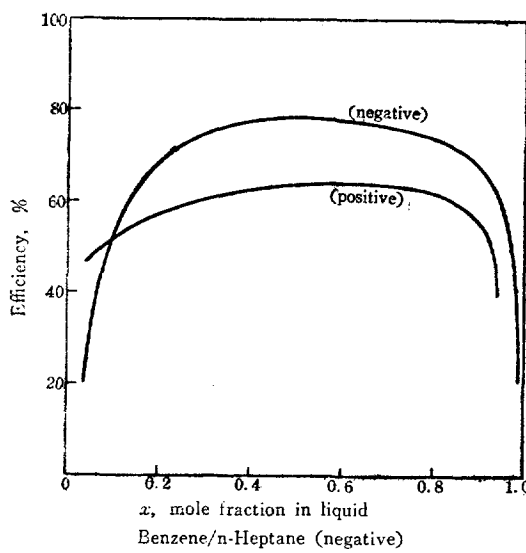


Fig. 6. Separating Power of Sieve Plates under Pray Condition (Ref. 10)

이고, 이것은 또한 Tray 위의 氣液接觸面積에 영향을 줄 수 있을 것이다. 表面張力 正系에 있어서 Zuiderweg 와 Harmens⁽¹⁾는 그림 5에 표시한 것과 같이 Tray 위의 泡沫의 높이는 成分間의 表面張力差와 Concentration Driving Force에 比例하는 것을 관찰하였으며, 특히 泡沫의 높이와 Concentration Driving Force(따라서 物質傳達速度)의 關係는 蒸溜塔의 效率과 混合液의濃度間의 關係를 說明하는 데 많이 引用되었다.^(1,4,6,7) 그러나 Haselden과 Thorogood⁽⁸⁾는 表面張力 正系인 N₂-O₂系를 小形 多孔板塔에서 관찰한 結果 泡沫高와 Concentration Driving Force는 比例하지 않으며, Driving Force가 적을 때에도 상당한 높이의 泡沫이 形成되는 것으로 보아 氣泡는 아주 적은 量의 物質傳達로서도 充分히 安定된다고 記述하고 있다. 또한 Haselden과 Hart⁽⁹⁾는 混合液 成分間의 表面張力差의 크기와 泡沫高는 無關함을 관찰하였고, 실제로 氣泡의 安定性을 決定하는 基準은 氣液表面 局部에서 일어나는 表面張力의 時間變化率이라고 제의하고 있다.



Fig. 7. Schematic Illustration of the Possible Effects of Surface Tension Difference on the Stability of the Neck During Drop Formation. Shaded Areas Denote Liquid of High Surface Tension. (Ref. 10)

Tray 塔에서 蒸氣速度가 增加하면 Tray 위의 氣液接觸機構는 液相連續인 Foam regime(Bubbly dispersion)으로부터 氣相連續인 Spray regime 으로 根本的으로 變하게 되어, 蒸溜塔 效率에 미치는 證因子에 對해 再考를 해야 한다.

Sawistowski 等⁽¹⁰⁾은 蒸溜塔을 Spray Condition 으로 運轉했을 때 그림 6에서 볼 수 있는 것과 같이 表面張力 負系가 正系보다 높은 效率을 나타낸을 發見했으며, 이 現象은 表面張力 負系의 경우에 正系보다 작은 液滴이 쉽게 形成되어 氣液接觸面積이 커진 結果라고 說明했다. 그림 7은 液體表面에서 液滴이 形成되는 機構를 나타낸다. 物質傳達은 液滴이 떨어지기 바로 直前 液體의 體積이 가장 작은 脖子(Neck)에서 우전적으로 일어날 것이다. 表面張力 負系의 경우에는 이 목의 表面張力은 다른 部分의 表面張力보다 적어진다. 따라서 Marangoni Effect는 이 목을 더욱 가늘게 할 것이고 液滴이 形成되는 것을 促進시킨다. 反對로 表

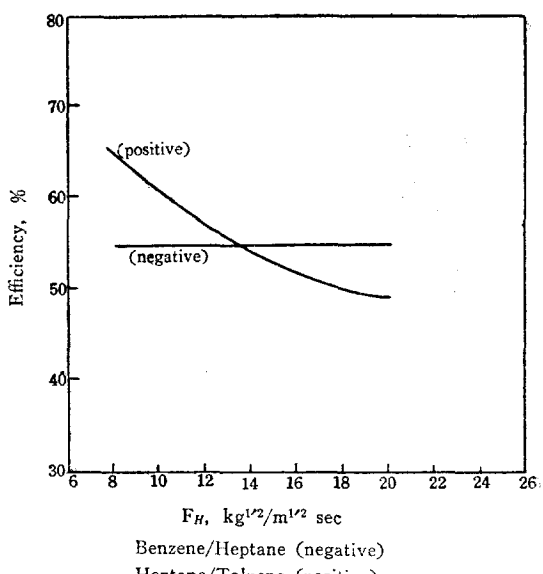


Fig. 8. Comparison of the Variation of Plate Efficiency with Hole Velocity for the Negative and Positive Systems (Ref. 11)

面張力 正系의 경우는 목에서의 表面張力이 增加되어 液滴形成이 저지되며, 結果의 液滴接觸面積은 表面張力 負系보다 적게 된다. 그림 8은 表面張力 正系와 負系의 混合液을 多孔板塔에서 蒸溜했을 때의 塔의 效率과 蒸氣速度와의 關係를 明確하게 表示하고 있다. 即 蒸氣速度가 낮으면 表面張力 正系의 效率이 負系보다 높고 反對로 蒸氣速度가 크면 表面張力 負系의 效率이 正系보다 높아지는 것을 볼 수 있다.

液滴의 크기는 또한 液體의 絶對表面張力에도 영향

을 받으며, 表面張力이 적을수록 形成되는 液滴의 크기는 작아진다.^(11, 12, 13, 14)

따라서 Spray Condition에서는 塔의 効率은 混合液의 表面張力이 적을수록 높아진다(Fig. 9). 이로부터 萬一 蒸溜塔의 Tray 間隔이 充分하여 飛沫同伴(Entrainment)으로 因한 効率低下를 무시할 수 있다면, 表面張力 正系 混合液의 경우 塔의 効率은 低沸點成分의 濃度가 커질수록, 높아지고 表面張力 負系 混合液의 경우에는 低沸點成分의 濃度가 적은 쪽에서 높아질 수 있다는 것을 예상할 수 있다.

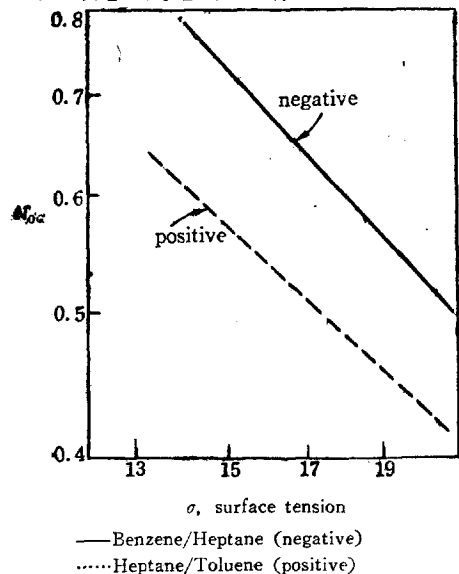


Fig. 9. Variation of Plate Performance with Surface Tension under Spray Conditions
(Ref. 11)

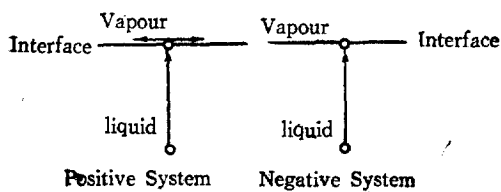


Fig. 10. Surface Renewal Model

4. 表面張力과 表面再生(Surface Renewal)

混合液의 表面張力이 蒸溜塔 効率에 주는 영향은 液相의 涡動과 氣液 接觸面의 表面 再生效果의 面에서도 고찰할 수 있다.

Danckwerts, Sawistowski 그리고 Smith⁽¹⁵⁾에 依하면,相當한 液相의 涡動과 液膜物質傳達抵抗이 存在할 때는 表面張力 正系 混合液은 表面再生을 促進시켜 塔의 効率을 높이고, 反對로 表面張力 負系 混合液은 表面再生을 阻止시켜 塔의 効率을 낮춘다. 그림 10은

Danckwerts 等⁽¹⁵⁾의 表面再生機構를 간단히 표시한 것이다. 氣液 表面의 液體에서는 液本體에 比하여 氣相의 平衡狀態에 빨리接近하게 되므로 低沸點成分의濃度가 液本體보다 적게 된다. 그래서 氣液接觸表面液體의 表面張力이 液本體에서보다 커지게 되는 表面張力 正系의 경우를 보면, 液相의 涡動으로 因하여 氣液表面에 뒹는 Eddy는 低沸點成分의濃度가 크고 表面張力이 적은 液體를 수반하게 된다. 이것은 氣液表面의 張力은 不均衡을 이루게 되고, 表面張力이 적은 液體가 Marangoni Effect에 依하여 表面上에 퍼지게 된다. 이런 現象은 계속 液相의 對流作用을 補強시켜 表面再生을 더욱 促進시키며, 이로 因하여 物質傳達係數는 높아지고 따라서 塔의 効率도 높아진다. 表面張力 負系의 경우에는 反對로 液本體로부터 氣液表面에도 달하는 液體는 氣液表面의 液體보다 큰 表面張力을 갖게 되고, 이 結果 이 液體는 表面上에 퍼지지 않아 表面再生을 阻止한다. 따라서 物質傳達係數는 表面張力 正系와 比較하여 낮게 된다.

Grassman 과 Anderes⁽¹⁶⁾, Anderes⁽¹⁷⁾ 및 Frank⁽¹⁸⁾ 等은 液體 내에 氣泡가 上昇할 때 物質傳達로 因하여 氣泡表面의 表面張力이 增加하면 物質傳達係數는 그 反對의 경우보다 높아지는 實驗結果를 얻은 바 있으며, 또한 Biddulph⁽¹⁹⁾는 氣液表面積이 一定하게 유지되도록 고안한 Pool Column의 効率이 表面張力 正系 混合液을 蒸溜할 때 더 높음을 관찰함으로서(그림 11) 表面再生理論을 確認하고 있다.

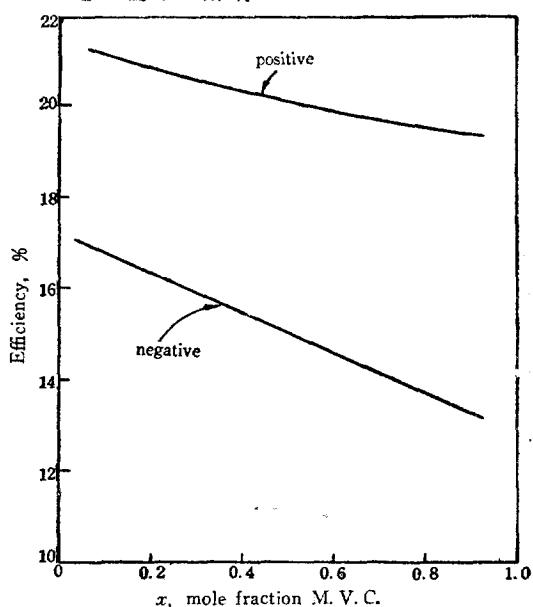


Fig. 11. Pool Column Results

또한 Danckwerts 等⁽¹⁵⁾은 表面張力 正系 混合液에 있어서 表面再生效果는 氣液表面에 起起되는 表面張力勾配에 比例한다고 언급하고 있다. 그들에 依하면 氣液表面의 表面張力勾配는 氣液表面液體와 液本體의 表面張力差에 比例하고, 이것은 또한 混合液의 濃度와 表面張力의 關係가 直線的(linear)이라면 Concentration driving force에 比例하게 된다. 따라서 二成分系 混合液에서 Concentration driving force는 어느 濃度에서는 最大值를 갖게 되므로 塔의 效率도 最大值를 갖게 된다. 그러나 Biddulph⁽¹⁹⁾는 Pool Column에서 成分間의 表面張力差가 다른 두 가지 表面張力 正系 混合液(Methyl cyclo hexane/Toluene과 Methanol/water)을 蒸溜했을 때 塔의 效率에 大差가 없고, 또 溶液의 成分을 變化시켰을 때 最大效率이 나타나지 않음을 관찰하였다.

5. 表面張力과 大形 蒸溜塔 效率

표 1에 몇 가지 大形 蒸溜塔의 效率을 混合液의 表面張力特性과 함께 표시하였다.一般的으로 大形 蒸溜塔에서는 以上 記述한 表面張力의 形狀이 크게 나타나지 않음을 볼 수 있다. 여기에는 여러 가지 原因이 있겠으나, 그 중에는 大形 蒸溜塔의 큰 蒸氣速度에 依한 심한 流相의 湍動과, Tray 上의 높은 液高로 因한 어떤 代表의 氣液接觸構造(泡沫 또는 Spray)의 形成不能 및 混合液의 不純物로 因한 表面張力形狀의 消滅⁽¹⁶⁾等이 있을 것이다.

Table 1. Efficiency of Large Columns

Column Diameter	System	Efficiency	Ref.
18 in. (Sieve).	n-Heptane/Toluene(Positive) Benzene/Toluene (Neutral)	9% increase compared to negative system	21
0.45 m (Sieve)	n-Heptane/Toluene(Positive) Benzene/Toluene (Neutral)	85% 80%	1
4 ft. (Bubble-cap)	Cyclohexane/n-Heptane(Negative)	80%	22
5.5 ft. (Bubble-Cap)	Methylene/Ethylene (Positive) Chloride / Chloride	80%	22

6. 結論

混合液의 表面張力과 蒸溜塔 效率과의 關係를 살펴보았다.混合液의 表面張力은 氣液表面積과 表面再生에 큰 形狀을 주며, 이것은 또한 塔의 運轉條件과 塔의 大小에 따라 다르게 나타난다. 따라서 蒸溜塔을 Scale-up 하거나 設計할 때는 이 混合液의 表面張力이 주는 形狀을 고려해야 한다.

使用 記號

- M. V. C* : The More Volatile Component
x : Mole fraction of the more volatile component
N_{oG} : Number of overall transfer units.
F_H : Hole F-factor.

참고 문헌

- Zuiderweg, F. J. and Harmens. A. *Chem. Eng. Sci.*, 9, 89 (1958)
- Ellis, S. R. M. and Bennett. R. J. *J. Inst. Petrol.*, 46, 19 (1960)
- Ellis, S. R. M., Barker, P. E., and Contractor, R. M. *Trans. Inst. Chem. Engrs (London)* 38, 21 (1960)
- Catchpole, J. P. *Ph. D. Thesis University of Birmingham*, England (1962)
- Marangoni, C. *Ann. Phys. Lpz.*, 143, 337 (1871)
- Contractor, R. M. *Ph. D. Thesis. Universiyt of Birmingham*, England (1959)
- Marsan, A. *Ph. D. Thesis. University of Birmingham*, England. (1966)
- Haselden, G. G. and Thorogood, RN. *Trans. Inst. Chem. Engrs. (London)*, 42, 81 (1964)
- Haselden, G. G. and Hart. D. J. *Int. Symp. Distillation (Brighton)*, (1969)
- Sawistowski, H., and Bainbridge. G. S. *Chem. Eng. Sci.*, 19, 993 (1964)
- Sawistowski, H. and Fane, A. G. *Int. Symp. Distillation (Brighton)*, (1969)
- Vermeulen, T., Williams, G. M. and Langlois, G. E. *Chem. Eng. Progr.*, 51, 85 F (1955)
- Hassod, D. and Mitzrachi. J., *Trans. Inst. Chem. Engrs (London)*, 39, 415 (1961)
- Degoedern, C. W. T. *Chem. Eng. Sci.*, 20, 1115 (1965)
- Danckwerts, P. V., Sawistowski, H. and Smith, W. *Int. Symp. Distillation (Brighton)*, (1960)
- Grassman, P. and Anderes, G. *Chem. Ing. Tech.*, 31, 154 (1959)
- Anderes, G. *Chem. Ing. Tech.*, 34, 597 (1962)
- Frank, A. *Chem. Ing. Tech.*, 32, 330 (1960)
- Biddulph, M. W. *Ph. D. Thesis. University*

- of Birmingham (England), 1966
20. Ruckenstein, E. *Chem. Eng. Sci.*, **19**, 505 (1964)
21. Zuiderweg, F. J., Verburg, H. and Gilissen, F. A. H. *Int. Symp. Distillation*, (1960)
22. Tray Efficiencies in Distillation Columns, Am. Inst. Chem. Engrs., University of Delaware, (1958)